

薛定谔方程的重整化和有效理论

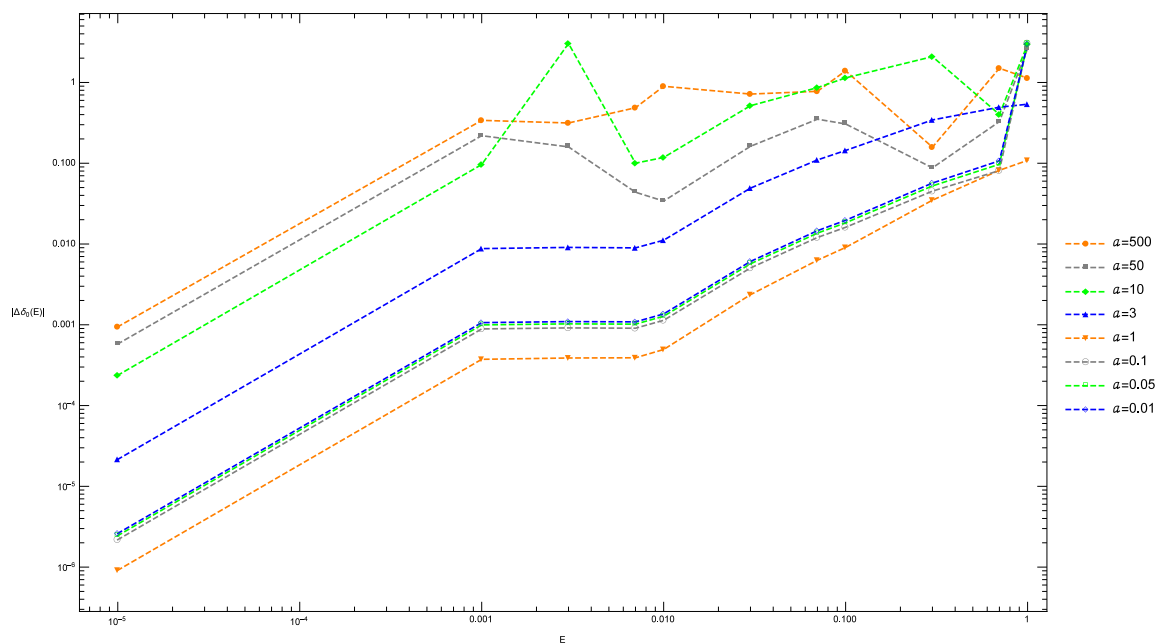
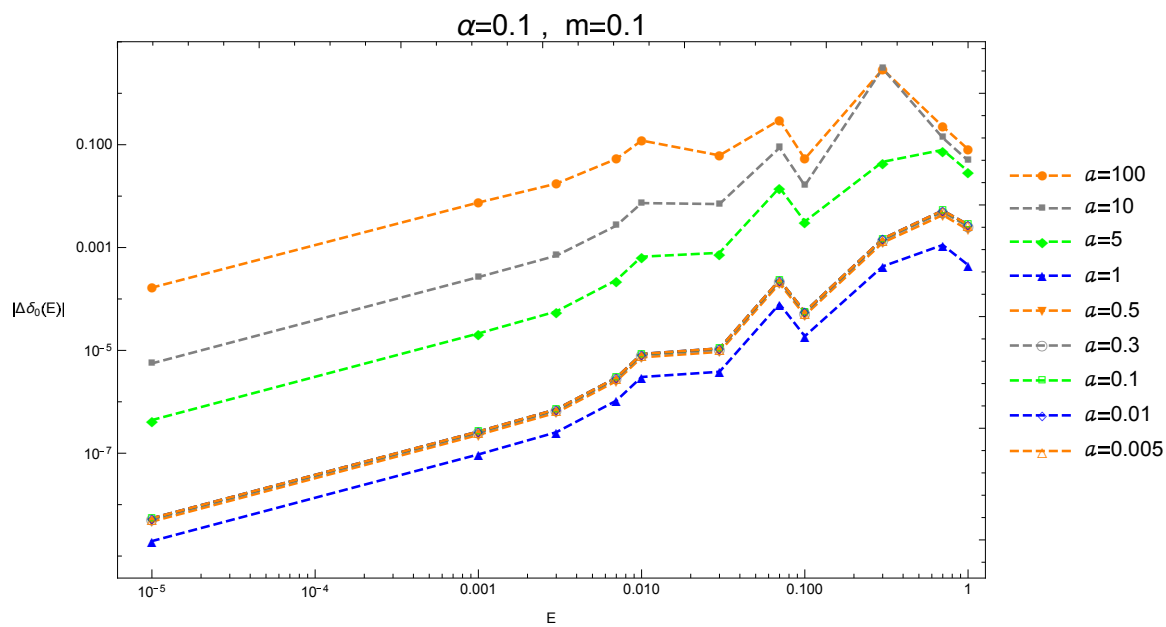
黄应生

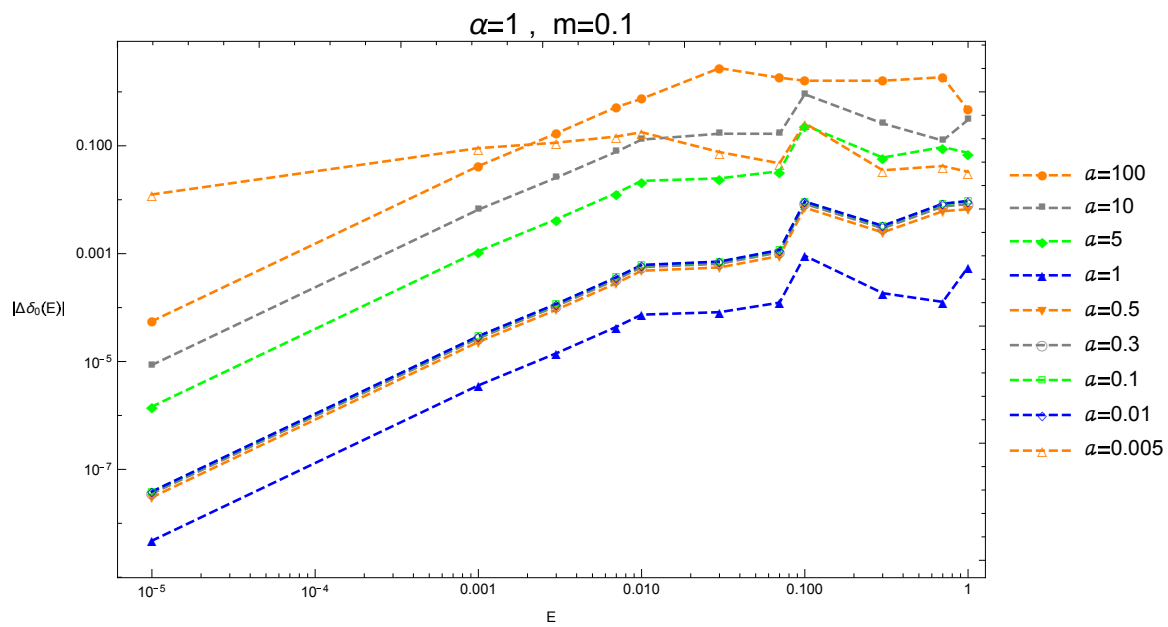
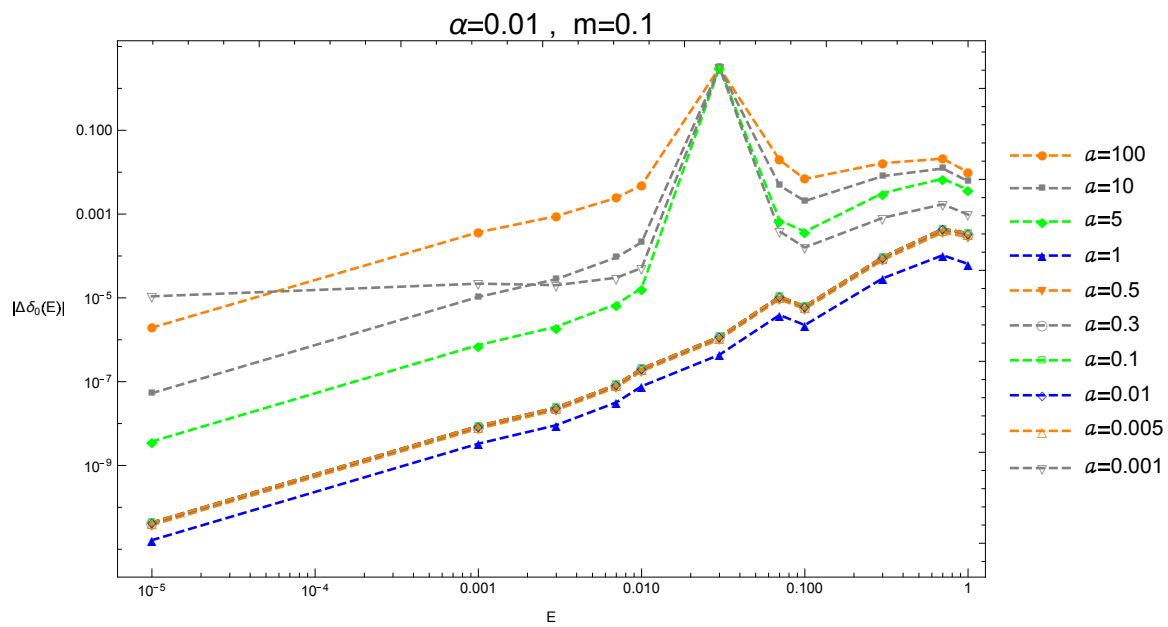
目录

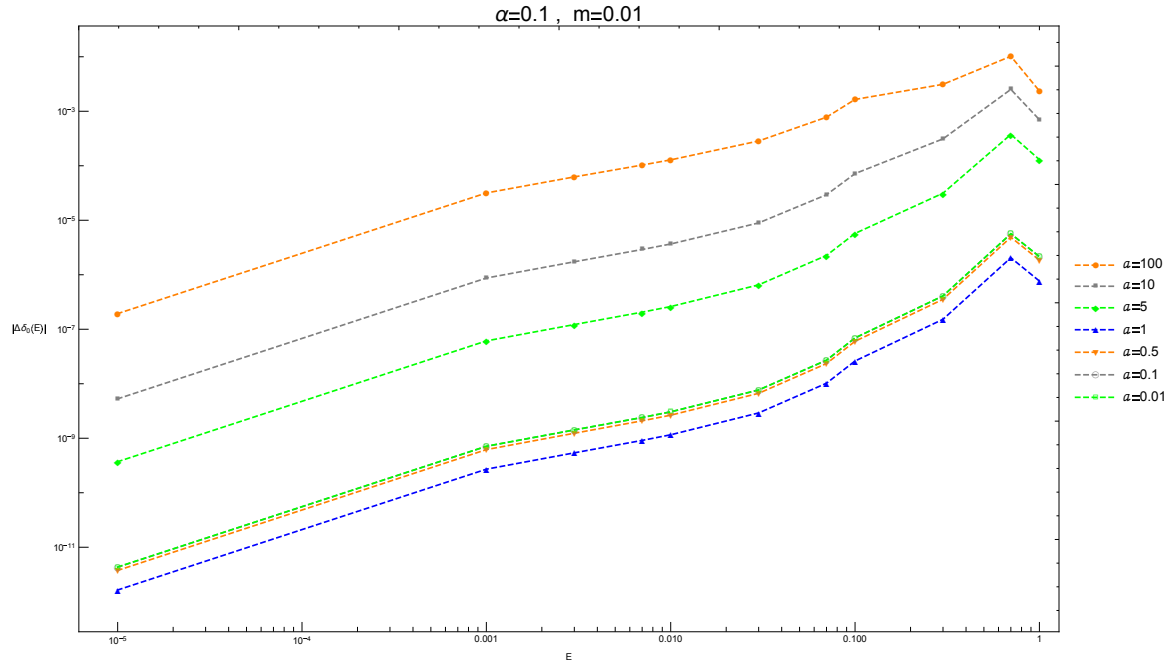
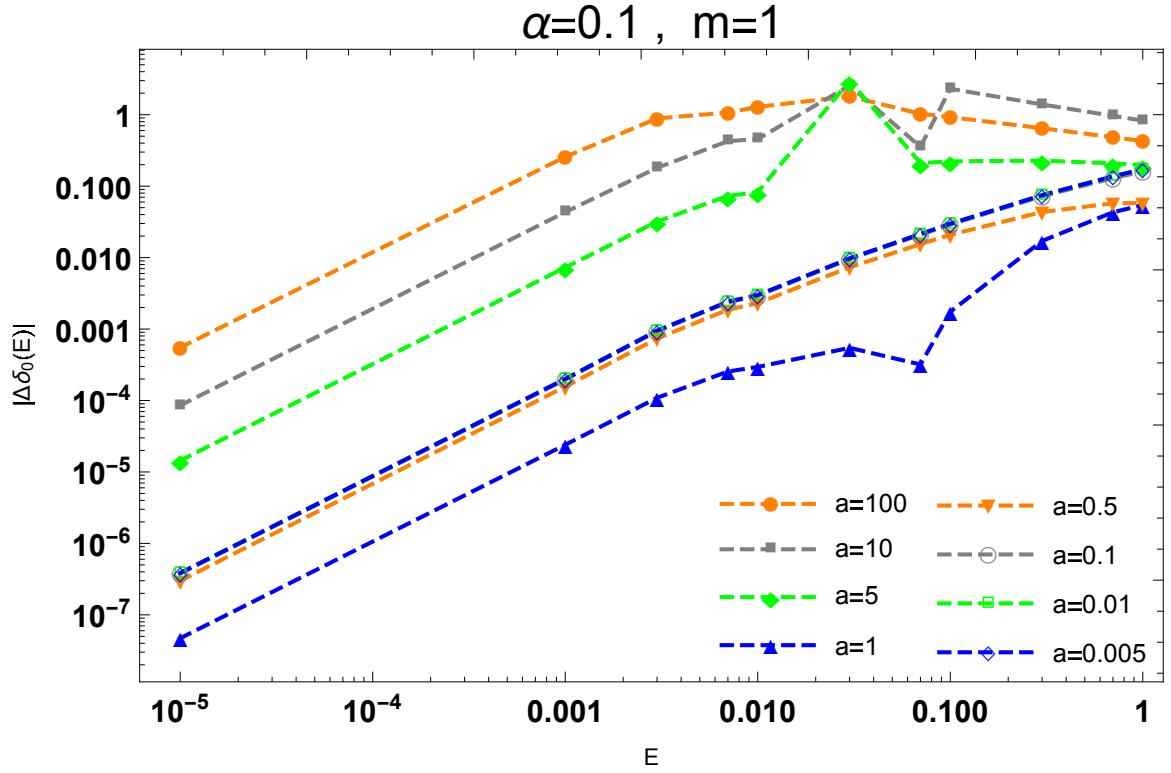
0.1	$\psi(r)$	7
-----	-----------	-------	---

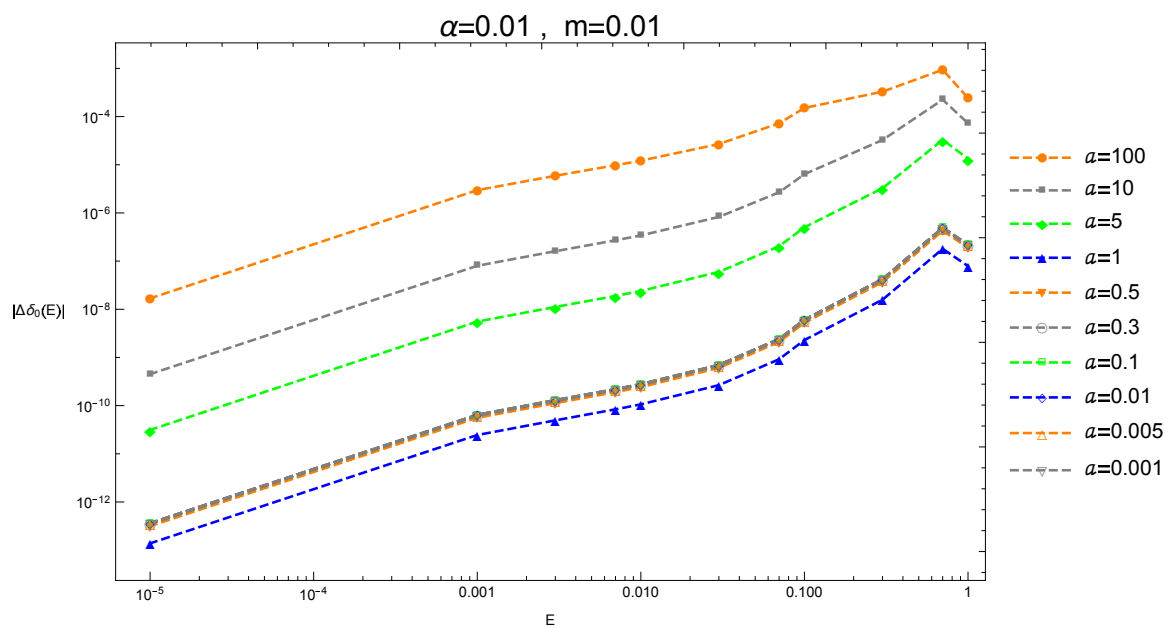
摘要

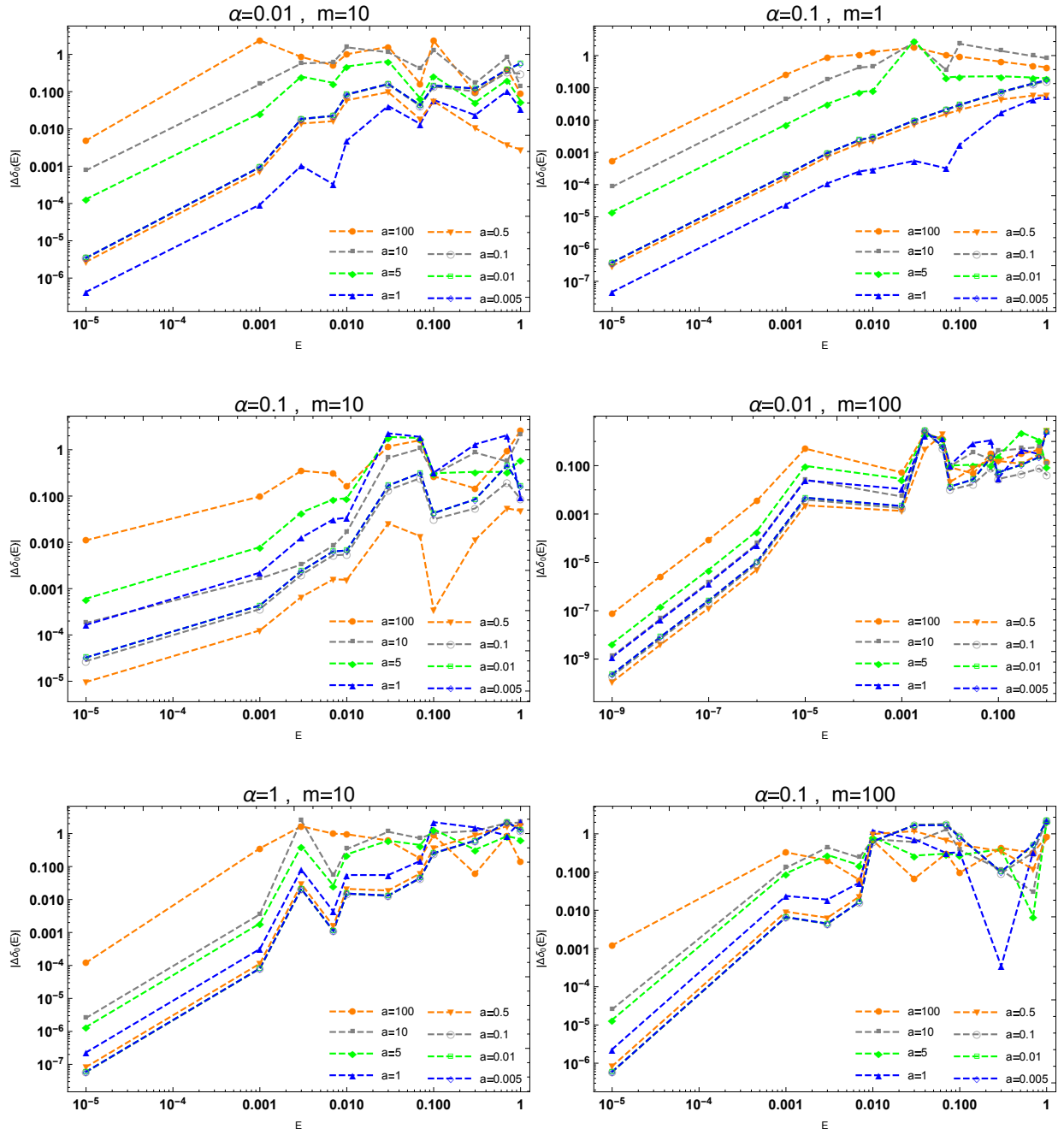
Abstract

图 1: $\alpha = 1, m = 1$ 图 2: $\alpha = 0.1, m = 0.1$

图 3: $\alpha = 1, m = 0.1$ 图 4: $\alpha = 0.01, m = 0.1$

图 5: $\alpha = 0.1, m = 0.01$ 图 6: $\alpha = 0.1, m = 1$

图 7: $\alpha = 0.01, m = 0.01$

图 8: Determine a

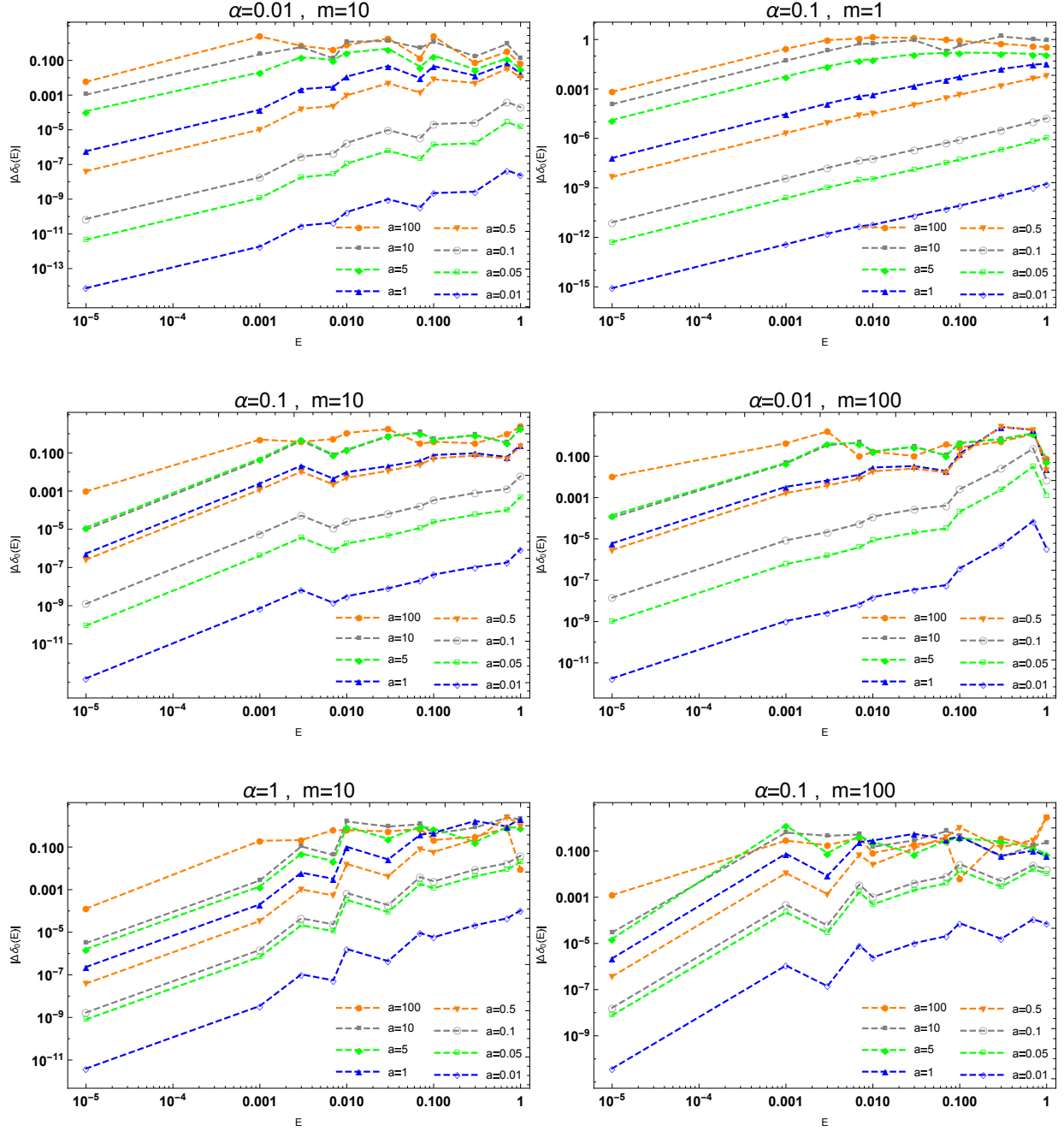


图 9: Determine a

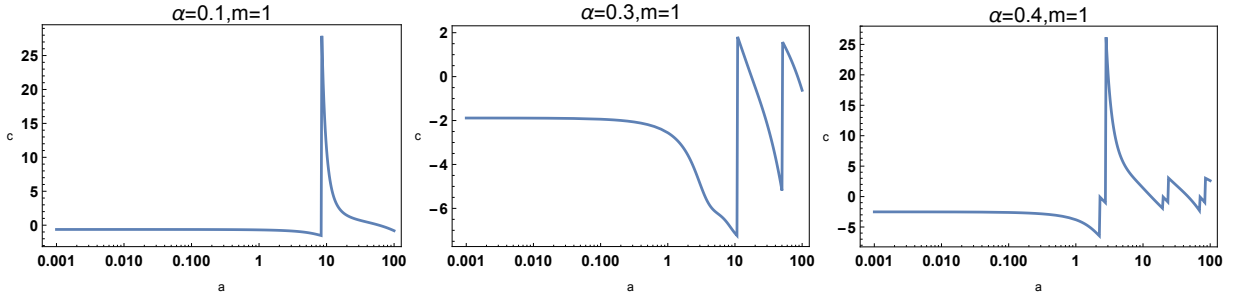


图 10: 有效势 $V_{eff}^{(a^2)}$ 的耦合常数 c 对截断 a 的依赖

0.1 $\psi(r)$

$\psi_{eff}(r)$ 修正后表达式为:

$$\psi_{true}(r) = \bar{\gamma}(r) \int d^3r \psi_{eff} \delta_a^3(\mathbf{r}) + \bar{\eta}(r) a^2 \int d^3r \psi_{eff} \nabla^2 \delta_a^3(\mathbf{r}) + \mathcal{O}(a^3) \quad (0.1)$$

这一关系仅在 $r < a$ 时成立。

可以发现除了第一个能级之外，其它能级与真实波函数都符合得较好，并且能级越高，符合得越好。若 $r > a$ ，则

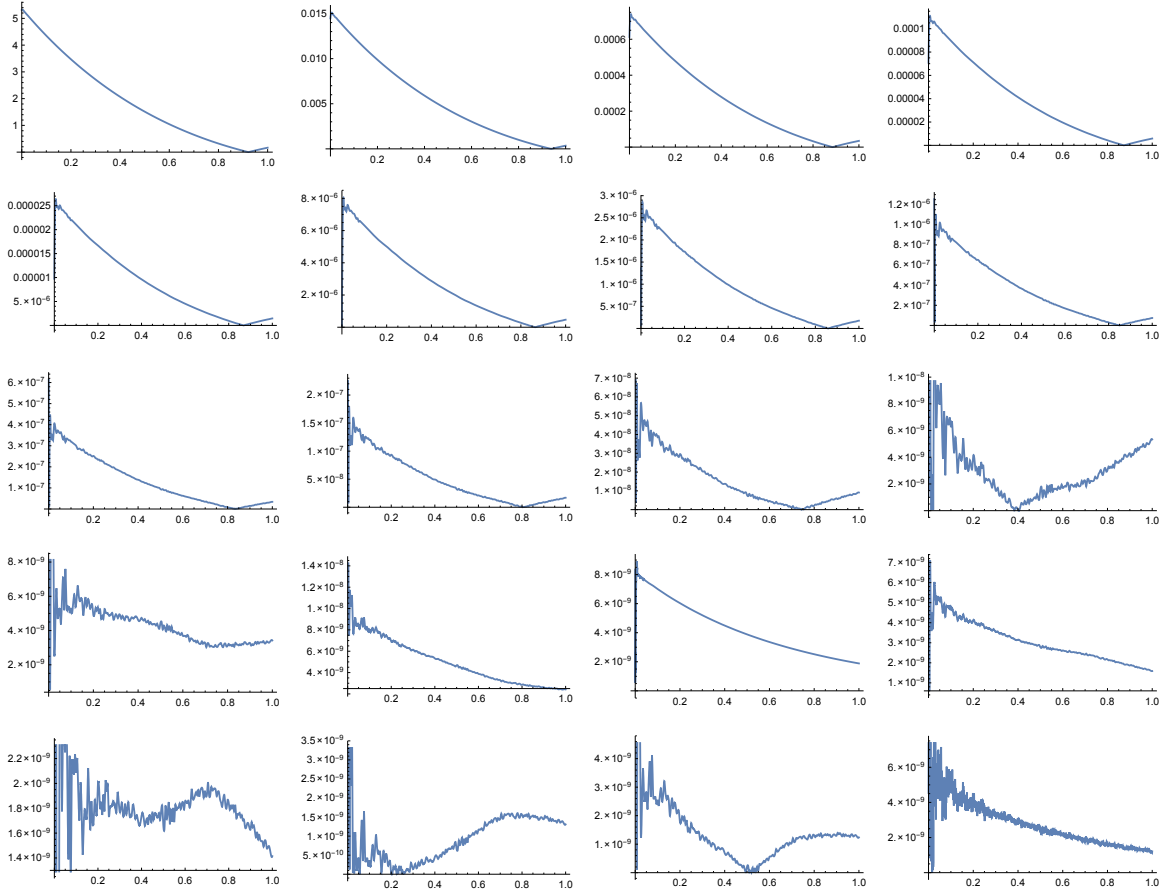
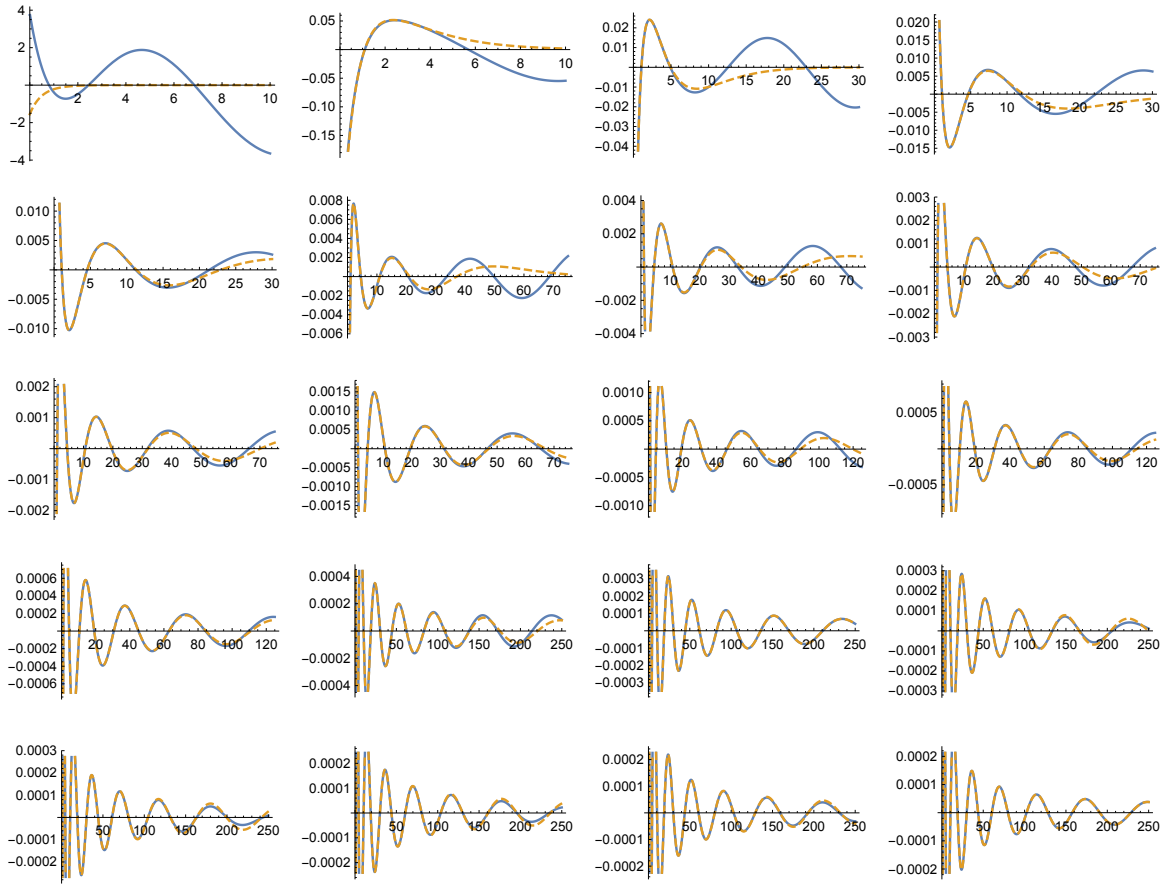


图 11: $\psi_{eff}(r)$ 在前 20 个能级与真实波函数的对比

图 12: $\psi_{eff}(r)(r > a)$ 在前 20 个能级与真实波函数的对比

但若再加上 $\bar{Z}(r)\psi_{eff}(r)$, 则可让 $\psi_{true}(r)$ 在 $r > a$ 时也能成立。

加上 $\bar{Z}(r)$, $\psi_{true}(r)$ 可写为

$$\psi_{true}(r) = \bar{Z}(r)\psi_{eff}(r) + \bar{\gamma}(r) \int d^3r \psi_{eff} \delta_a^3(\mathbf{r}) + \bar{\eta}(r)a^2 \int d^3r \psi_{eff} \nabla^2 \delta_a^3(\mathbf{r}) + \mathcal{O}(a^3) \quad (0.2)$$

于是可以得到 $\psi_{true}(r)$ 的图像。

可以发现, 对于几乎所有能级 (除了 1S 外), 大范围的 r 内基本都与真实波函数一致。但是图像中的波函数并不是完全光滑的, 这是因为(0.2)中的参数不止有一种可能, 而不光滑的地方则是参数从一种可能跳到另一种可能所导致的。

$\nabla^2 \psi_{true}(r)$ 同样可以用相同的办法求出。对方程(0.1)左右同时求导后可以得到

$$\begin{aligned} \nabla^2 \psi_{true}(r) = & \bar{\gamma}(r) \int d^3r \psi_{eff} \delta_a^3(\mathbf{r}) + \bar{\gamma}'(r) \int d^3r \nabla^2 [\psi_{eff} \delta_a^3(\mathbf{r})] + \bar{\eta}(r)a^2 \int d^3r \psi_{eff} \nabla^2 \delta_a^3(\mathbf{r}) \\ & + \bar{\eta}'(r)a^2 \int d^3r \nabla^2 [\psi_{eff} \delta_a^3(\mathbf{r})] + \mathcal{O}(a^3) \end{aligned} \quad (0.3)$$

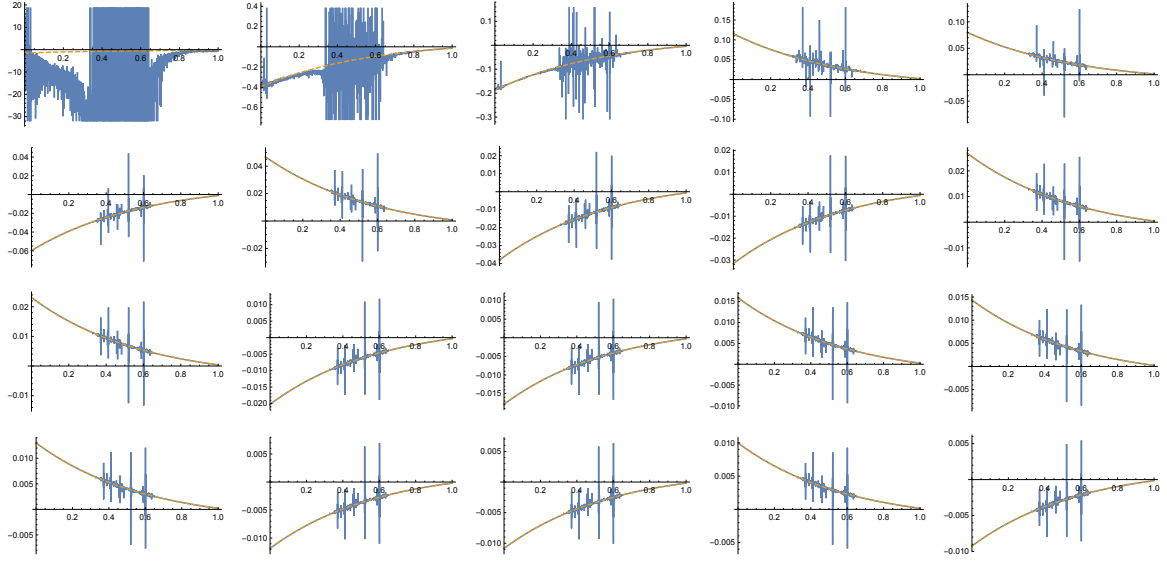


图 13: $\psi_{eff}(r)(r > a)$ 在前 20 个能级与真实波函数的对比

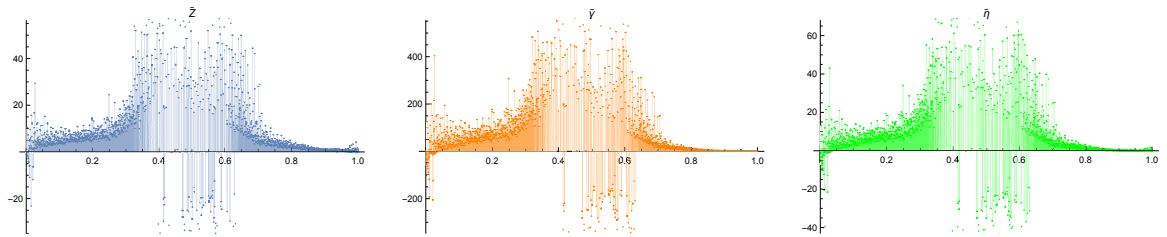


图 14: $\bar{Z}(r)$ 、 $\bar{\gamma}(r)$ 、 $\bar{\eta}(r)$ 的取值

其中可以证明 $\int d^3r \nabla^2 [\psi_{eff} \delta_a^3(\mathbf{r})]$ 与 $\int d^3r \nabla^2 [\psi_{eff} \nabla^2 \delta_a^3(\mathbf{r})]$ 之值为 0。于是(0.3)仅剩两项

$$\nabla^2 \psi_{true}(r) = \bar{\gamma}(r) \int d^3r \psi_{eff} \delta_a^3(\mathbf{r}) + \bar{\eta}(r) a^2 \int d^3r \psi_{eff} \nabla^2 \delta_a^3(\mathbf{r}) + \mathcal{O}(a^3) \quad (0.4)$$

其形式与(0.1)基本相同。画出 $r < a$ 时的图像，则为

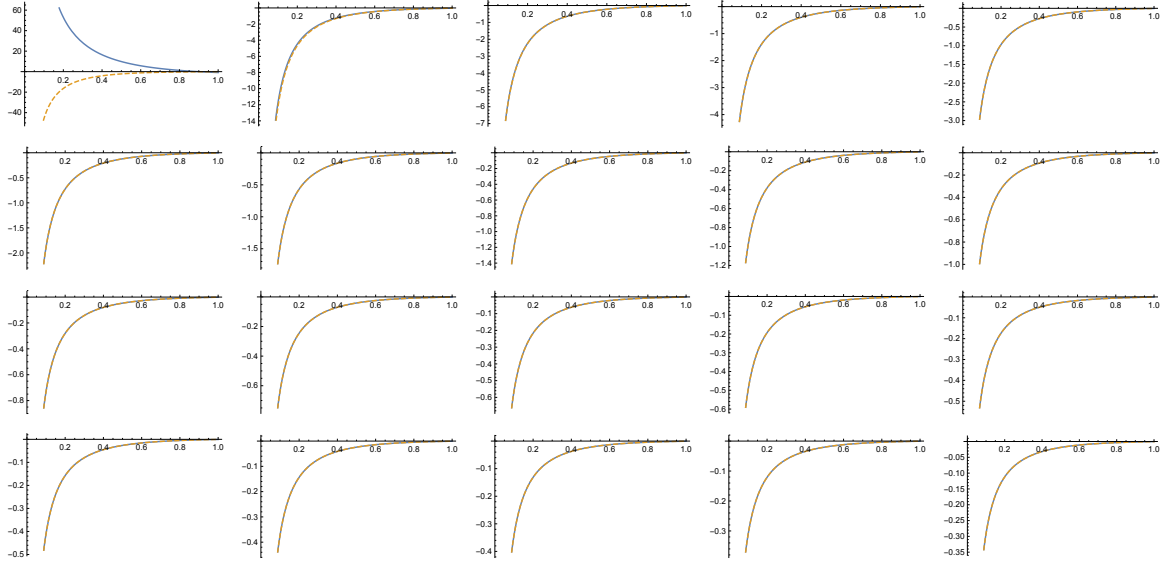


图 15: $\psi_{eff}(r)(r < a)$ 在前 20 个能级与真实波函数的对比